

石榴 AFLP 反应体系的建立及优化

赵丽华

(西昌学院 农业科学学院, 四川 西昌 615013)

摘要:以提取的‘粉红牡丹’石榴叶片基因组 DNA 为材料,对影响 AFLP 反应体系的 *Mse* I/*EcoRI* 酶切时间、预扩增模板 DNA 稀释倍数及程序和选择性扩增模板 DNA 稀释倍数等关键因素进行优化。结果表明:在石榴 AFLP 反应体系为 20 μL 双酶切反应体系中,基因组 DNA 为 300 ng 的最佳酶切时间为 6 h;以不稀释 DNA 连接产物为预扩增模板,94°C 为预扩增反应程序的起始解链温度;以稀释 20 倍预扩产物 DNA 为选扩模板。

关键词:石榴; AFLP; 体系; 优化

中图分类号:S 665.4 **文献标识码:**A **文章编号:**1001-0009(2012)21-0079-04

石榴(*Punica granatum* L.)为石榴科石榴属落叶灌木或小乔木,原产印度、伊朗、阿富汗等中亚地区,引入中国至今已有 2 000 余年的栽培历史^[1];石榴在中国经长期天然杂交和基因突变,以及采用实生、嫁接等多种繁殖方法,产生了复杂多样的品种和类型。目前,国际上还没有建立统一的石榴品种分类方法和分类体系,导致品种混杂、同种异名、同名异种的现象出现,绝大多数品种的系统演化和品种间的亲缘关系也无文献资料可考证^[2-3],对准确进行品种资源鉴定和利用带来了困难。尽管各国学者已经用 RAPD、ISSR 等^[4-6]分子标记对部分石榴进行遗传多样性研究,但利用扩增片段长度多态性(Amplified fragment length polymorphism, AFLP)对石榴种质资源进行研究在国内外报道较少。

AFLP 因具有多态性高、DNA 用量少、无需预知基因组序列信息、稳定性好等优点,已被广泛应用于种质资源遗传多样性研究、遗传图谱构建、辅助选择育种、品种鉴定等多方面的研究。在目前缺乏对石榴基因组序列等信息了解的情况下,AFLP 技术是石榴种质资源鉴定与评价的一种有效手段。但 AFLP 分子标记操作步骤繁琐,对技术要求较高,任何步骤操作不当,都将直接影响试验结果^[7]。优化石榴 AFLP 反应体系,是进行分析的前提,但目前鲜有文献报道石榴 AFLP 体系优化的结果。该研究对石榴 AFLP 反应体系进行优化,以期建

立稳定的石榴 AFLP 体系,为石榴进行 AFLP 遗传多样性分析、图谱构建、分子标记选择辅助育种等研究奠定基础。

1 材料与方法

1.1 试验材料

供试材料为山东石榴‘粉红牡丹’,于 2008 年 4 月采自四川会理县农业局石榴品种资源圃。试验于西南大学花卉实验室进行。

试剂:*EcoRI*、*MseI*、T₄ DNA 连接酶购自 NEB, *Taq* DNA 聚合酶、dNTPs、DL 2000 购自 TaKaRa 有限公司; *Mse* I/*EcoR* I 接头、预扩引物和选择性扩增引物序列参照周延清^[8]由上海英骏生物技术有限公司合成;亲和硅烷、剥离硅烷购自北京鼎国生物技术有限责任公司,丙烯酰胺/甲叉双丙烯酰胺溶液(Acryl/Bis solution, 29 : 1, 40%)、尿素[CO(NH₂)₂]、无水碳酸钠(Na₂CO₃)、硝酸银(AgNO₃)、硫代硫酸钠(Na₂S₂O₃)、甲醛(HCHO)、过硫酸铵[(NH₄)₂S₂O₈]等均为国产分析纯。

1.2 试验方法

1.2.1 DNA 提取及检测 参照赵丽华等^[9]改良 CTAB 法提取‘粉红牡丹’石榴叶片基因组 DNA,用 1% 琼脂糖凝胶电泳检测 DNA 纯度,核酸蛋白分析仪测定 DNA 含量,最后稀释为 100 ng/ μL 工作液,置于-20°C 冰箱里备用。

1.2.2 基因组 DNA 酶切时间的优化 以山东石榴‘粉红牡丹’基因组 DNA 为材料,用限制性内切酶 *Mse* I、*EcoR* I 进行 DNA 模板双酶切^[10-11]。20 μL 双酶切反应体系组分为:*Mse* I(10 U/ μL)0.5 μL 、*EcoR* I(20 U/ μL)0.25 μL 、BSA(100 $\mu\text{g}/\text{mL}$)0.2 μL 、NEBuffer(2)2 μL 、基因组 DNA(100 ng/ μL)3 μL 、加 ddH₂O 补足总体积 20 μL 。分别设定酶切时间为 3、4、5、6、7 h,对照不加内切酶,以 37°C 恒温水浴进行酶切反应,酶切结束后,65°C

作者简介:赵丽华(1972-),女,四川西昌人,博士,副教授,研究方向为园艺植物分子生物学及遗传育种。E-mail: 1973zlh@163.com

基金项目:四川省教育厅科研基金资助项目(08zc014);西昌学院研究生课题资助项目(YJSA0615)。

收稿日期:2012-06-19

水浴 20 min 灭活内切酶,吸取 10 μL 酶切产物用 1% 琼脂糖凝胶电泳检测酶切结果。

1.2.3 酶切产物的连接 将 *Mse* I、*Eco*R I 接头单链在 PCR 仪上进行接头的复性,自然冷却制成双链接头。选取最佳酶切时间酶切 DNA 产物,加接头;20 μL 的连接体系为:*Eco*R I 接头(20 mmol/L)0.5 μL 、*Mse* I 接头(20 mmol/L)0.5 μL 、10×T₄ DNA Ligase Buffer 2.0 μL 、T₄ DNA 连接酶(40 U/ μL)0.2 μL 、酶切产物 DNA 15 μL ,加 ddH₂O 补足总体积 20 μL 。混匀,瞬时离心,16℃恒温过夜连接^[12~13],连接产物放置于-20℃冰箱保存备用。

1.2.4 预扩增体系优化 模板 DNA(连接产物)分别不稀释、稀释 10、20 倍后用于预扩增,1 次重复,预扩增产物在 1% 琼脂糖凝胶上电泳检测。25 μL 的预扩增体系组分为^[14~15]:*Eco*R I-A 引物(10 mmol/L)1 μL 、*Mse* I-C 引物(10 mmol/L)1 μL 、Mg²⁺(25 mmol/L)1.5 μL 、dNTPs(2.5 mmol/L)1.5 μL 、10×PCR Buffer 2.5 μL 、*Taq* DNA 聚合酶(5 U/ μL)0.2 μL 、连接产物 DNA 2 μL ,加 ddH₂O 补足总体积 25 μL 。设置 2 个预扩程序,分别为 A、B^[16],选取最佳稀释倍数进行扩增,各重复 1 次,分别为 A₁、A₂、B₁、B₂。程序 A 为:72℃ 2 min;94℃ 2 min,94℃ 30 s,56℃ 30 s,72℃ 60 s,共 30 个循环;72℃ 6 min,10℃ hold。程序 B 除去第一步 72℃ 2 min,其余步骤与 A 相同。

1.2.5 选择性扩增体系模版浓度优化 选择性扩增采用 25 μL 体系。模板 DNA(以 B 程序预扩产物)分别不稀释、稀释 10、20 倍后,以 E-AGG/M-CAA 引物进行选择性扩增,1 次重复。选取预扩产物最佳稀释浓度,分别对 A₁、A₂、B₁、B₂ 预扩产物进行选择性扩增,1 次重复,分别为 A_{1.1}、A_{1.2}、A_{2.1}、A_{2.2} 及 B_{1.1}、B_{1.2}、B_{2.1}、B_{2.2}。25 μL 选择性扩增体系为:Mg²⁺(25 mmol/L)1.5 μL ,dNTPs(2.5 mmol/L)1.5 μL ,*Mse* I 选扩引物(10 mmol/L)1 μL ,*Eco*R I 选扩引物(10 mmol/L)1 μL ,*Taq* DNA 聚合酶(5 U/ μL)0.2 μL ,10×PCR Buffer 2.5 μL ,模板 DNA(预扩产物)2 μL ,加 ddH₂O 补足总体积 25 μL 。扩增程序为^[17]:94℃ 2 min;94℃ 30 s,65℃ 30 s(每个循环降低 0.7℃),72℃ 60 s,共 12 个循环;94℃ 30 s,55℃ 30 s,72℃ 60 s,共 23 个循环;72℃ 6 min,10℃ hold。扩增产物用 1% 琼脂糖凝胶上电泳检测后,参照明军等^[18]6% 变性聚丙烯酰胺凝胶电泳、银染检测结果。

2 结果与分析

2.1 DNA 检测

由图 1 可知,琼脂糖电泳检测所提石榴基因组 DNA 主带清晰,无拖尾现象,点样孔干净,无 RNA 条带,测其 OD_{260nm}/OD_{280nm} 为 1.804, DNA 产率为 117.2 $\mu\text{g}/\text{g}$,符合

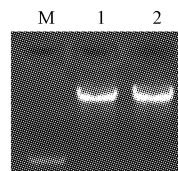


图 1 石榴基因组 DNA 电泳图

注:M 为 DL 2000;1、2 为‘粉红牡丹’石榴基因组 DNA。

Fig. 1 Electrophoreses of pomegranate genome DNA

Note:M is DL 2000,1,2 is pomegranate ‘Fenhongmudan’.

AFLP 技术对基因组 DNA 质量要求^[7]。

2.2 AFLP 体系优化

2.2.1 酶切时间的优化 对石榴基因组进行双酶切,1% 琼脂糖凝胶电泳检测结果见图 2。由图 2 可知,酶切时间为 3 h 时,在基因组位置微有发亮,表明仍有少部分 DNA 没有被酶切;酶切时间为 4 h 时,DNA 片段从基因组位置到 100 bp 间形成涂抹,表明进行 4 h 酶切,不能充分酶切基因组 DNA;酶切时间为 5 h 时,DNA 片段从 100~1 500 bp 间形成涂抹,表明进行 5 h 酶切,不能充分酶切基因组 DNA;酶切时间为 6、7 h 时,DNA 片段在 100~750 bp 间形成高密度区域,表明进行 6、7 h 酶切后,酶切充分,可以完全消化模板 DNA^[4],且进行 6 h 与 7 h 的酶切,酶切程度差异不大。对照基因组 DNA 没有拖带,表明所使用‘粉红牡丹’石榴基因组 DNA 没有降解现象。

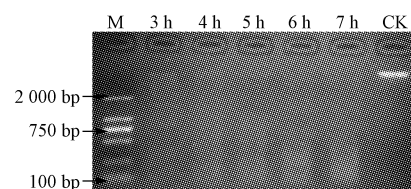


图 2 不同酶切时间的电泳图

Fig. 2 Time of enzyme digestion

2.2.2 预扩增体系模板浓度及扩增程序 由图 3 可知,不稀释酶切产物的预扩产物 DNA 片段在 750 到 100 bp 间形成高密度区域,且亮度最高,表明不稀释酶切产物预扩后 PCR 产物浓度高;稀释 10 倍酶切产物的预扩产物 DNA 片段在 100~750 bp 间形成较高密度区域,亮度较低,表明稀释 10 倍酶切产物的预扩产物浓度较低;稀释 20 倍酶切产物的预扩产物 DNA 片段在 100~500 bp 间,且亮度很弱,表明稀释 20 倍的预扩产物浓度最低。选用酶切产物的最佳稀释倍数,分别以 A、B 程序进行预扩增,再用选扩引物 E-AGG/M-CAA 进行选择性扩增,扩增产物在 1% 琼脂糖凝胶上电泳检测结果见图 4。由图 4 可知,A、B 程序的预扩产物没有差异;将 E-AGG/M-CAA 选扩产物在 6% 变性聚丙烯酰胺凝胶电泳、银染检测结果见图 5。由图 5 可知,A 程序的 A_{1.1}、A_{1.2} 比全部 B 程序的多 2 条 DNA 带,分布在 500 bp 以下,A_{2.1}、A_{2.2}

比全部 B 程序的多 1 条 DNA 带,但 A_{1.1}、A_{1.2}、与 A_{2.1}、A_{2.2}所增加的 DNA 条带位置不同,表明 A 程序能扩增更多的 DNA 条带,但结果不稳定;B 程序扩增的 B_{1.1}、B_{1.2}、B_{2.1}、B_{2.2}扩增的条带比 A 程序的都少,但条带数恒定,表明扩增结果稳定。

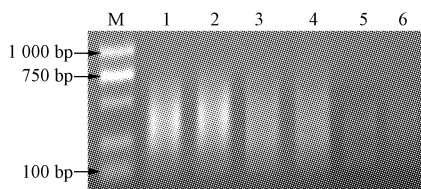


图 3 预扩增产物电泳图

注:1、2 不稀释;3、4 稀释 10 倍;5、6 稀释 20 倍;M 为 DL 2 000。

Fig. 3 Electrophoresis of pre-amplification product

Note: 1, 2 are not diluted; 3, 4 are diluted 10 times; 5, 6 are diluted 20 times; M is DL 2 000.

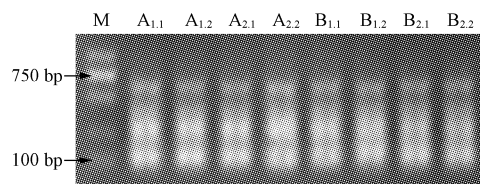


图 4 选择性扩增产物电泳图

注:A 为 A 程序的选扩产物;B 为 B 程序的选扩产物;M 为 DL 2 000。

Fig. 4 Electrophoresis of selective amplification product

Note: A is selective amplification product of A procedure, B is selective amplification product of B procedure; M is DL 2 000.

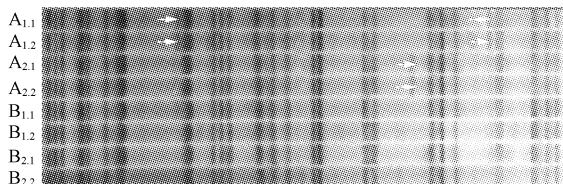


图 5 选择性扩增产物(PAGE)电泳图

注:A 为 A 程序的选择性扩增产物,B 为 B 程序的选择性扩增产物;箭头指示增多条带。

Fig. 5 PAGE electrophoresis of selective amplification product

Note: A is electrophoresis of selective amplification product, B is electrophoresis of selective amplification product; Arrows indicate bands increased.

2.2.3 选择性扩增体系模板浓度优化 将预扩产物分别不稀释、稀释 10、稀释 20 倍后,以 E-AGG/M-CAA 引物进行选择性扩增,产物在 6% 变性聚丙烯酰胺凝胶电泳、银染检测结果见图 6。由图 6 可知,6 条泳道的 DNA 条带一样,表明预扩产物不稀释、稀释 10、稀释 20 倍都可以得到稳定的选择性扩增条带,且结果一致。

3 结论与讨论

AFLP 技术试验流程较长,对技术要求较高,所以具体操作中容易出现问题。该研究通过对石榴 AFLP 反应体系中几个关键因素进行优化,建立了适合于石榴

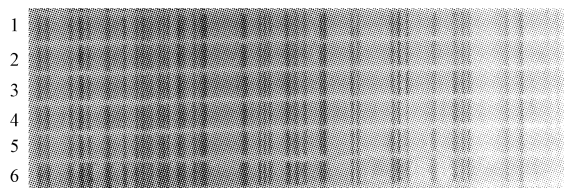


图 6 选择性扩增产物(PAGE)电泳图

注:1、2 为稀释 1 倍;3、4 为稀释 10 倍;5、6 为稀释 20 倍。

Fig. 6 PAGE electrophoresis of selective amplification product

Note: 1, 2 are diluted 1 times; 3, 4 are diluted 10 times; 5, 6 are diluted 20 times.

AFLP 的反应体系,即 20 μ L 双酶切反应体系中,基因组 DNA 300 ng 的最佳酶切时间为 6 h;以不稀释的连接产物 DNA 为预扩增模板,预扩增程序以 94℃ 为起始解链温度;以预扩增产物 DNA 稀释 20 倍后为选扩模板,该体系具有较高的稳定性,可为进行石榴 AFLP 研究奠定基础。

AFLP 反应体系涉及诸多因素,每个因素对整个反应体系都有较大影响。该试验结果表明,①设置不同酶切时间,进行对比试验,石榴基因组 DNA (300 ng) 20 μ L 双酶切反应体系的酶切时间为 6 h。不同种类的植物由于基因组大小不同,酶切时间长短也有差异^[13],酶切时间过短,基因组 DNA 酶切不充分,会造成相应的指纹片断的缺失;酶切时间过长,DNA 内切酶易产生星号(Star)活性,使部分 DNA 降解,造成小片段过多,降低特异性^[8]。②酶切连接产物模板 DNA 不稀释、稀释 10 倍、稀释 20 倍后的扩增结果不一致,随着稀释的倍数增加,扩增的产物浓度降低;这与田晓俊等^[19]、欧立军等^[20]研究结果一致。可能是双酶切产生 3 种不同的片段,Mse I-Mse I 片段占总数的 90% 以上,Mse I-EcoR I 片段仅占 5% 左右,EcoR I-EcoR I 更少^[7,21],当模板溶液被稀释后,扩增的目的片段 Mse I-EcoR I 浓度随之降低,同时还受 Mse I-Mse I、EcoR I-EcoR 片段的干扰,从而使不同稀释倍数的模板溶液扩增的结果不一致。所以,该试验选取不稀释 DNA 连接产物作为预扩增的模板。③首次在预扩增 PCR 时,A 程序以 72℃ 为反应起始温度,以 72℃ 进行局部解链,使之与引物互补,此时部分具有 OH-OH 缺口的单链接头仍部分连接在 DNA 片段上,同时进行 DNA 链的延伸,完成链的合成,可增加 DNA 条带数目(图 5);但由于局部接连位置不固定,所以增加的 DNA 条带位置也不固定,不利于 AFLP 技术分析,该试验选取以 B 程序为扩增程序,扩增的 DNA 条带带数恒定,便于分析。④选择性扩增时,预扩产物不稀释、稀释 10、稀释 20 倍得到结果相同,与刘欢^[22]、李元军等^[23]研究结果一致;这是由于 PCR 对模板浓度不敏感,在没有其它干扰的情况下,扩增效果没有差异。

AFLP 体系是一个完整的直线体系,涉及到很多方

面,例如基因组 DNA 的质量、酶切产物连接、PCR 扩增体系、不同的预扩增和选择性扩增的方法等。该研究侧重于酶切时间、预扩增体系模板浓度及扩增程序、选择性扩增体系模版浓度进行试验而优化了石榴 AFLP 反应体系。为了使石榴 AFLP 反应体系更佳,今后还应对 AFLP 体系的其它影响因素进行研究。

参考文献

- [1] 张玉星. 果树栽培学各论[M]. 1 版. 北京: 中国农业出版社, 2008: 78-86.
- [2] 汪小飞. 石榴品种分类研究[D]. 南京: 南京林业大学, 2007: 20-49.
- [3] Stover E, Mercure E W. The pomegranate: a new look at the fruit of paradise[J]. Hort Science, 2007, 42(5): 1088-1092.
- [4] 卢龙斗, 刘素霞, 邓传良, 等. RAPD 技术在石榴品种分类上的应用[J]. 果树学报, 2007, 24(5): 634-639.
- [5] Ghobadi S, Khoushkhoui M, Tabatabaei B E S. Phylogenetic relationships among some iranian pomegranate accessions revealed by Inter-simple Sequence Repeat(ISSR) markers[J]. Iranian Journal of Horticultural Science and Technoogy Fall, 2005, 6(3): 111-120.
- [6] Narzary D, Rana T S, Ranade S A. Genetic diversity in inter-simple sequence repeat profiles across natural populations of Indian pomegranate (*Punica granatum* L.)[J]. Plant Biology, 2010, 12(5): 806-813.
- [7] 曹仪植. 植物分子生物学[M]. 1 版. 北京: 教育出版社, 2004: 142-159.
- [8] 周延清. DNA 分子标记技术在植物研究中的应用[M]. 1 版. 北京: 化学工业出版社, 2005: 2-179.
- [9] 赵丽华, 王先磊. 成熟石榴叶片 DNA 提取方法研究[J]. 安徽农业科学, 2009, 37(31): 15141-15143.
- [10] 翟文慧, 贾春枫, 周莹, 等. 十字花科蔬菜黑腐病菌 (*Xanthomonas campestris* cv. *campestris*) AFLP 分析体系的建立及优化[J]. 中国农学通报, 2011, 27(22): 168-172.
- [11] Aitken K S, Li J C, Jackson P, et al. AFLP analysis of genetic diversity within *saccharum officinarum* and comparison with sugarcane cultivars[J]. Aust J Agric Res, 2006, 57: 1167-1184.
- [12] Li W, Xing S Y, Yang K Q, et al. Genetic relationships of ornamental cultivars of *Ginkgo biloba* analyzed by AFLP techniques[J]. Acta Genetica Sinica, 2006, 33(11): 1020-1026.
- [13] Byun S Q, Fang Q, Zhou H, et al. An effective method for silver-staining DNA in large numbers of polyacrylamide gels[J]. Anal Biochem, 2009, 38(5): 174-175.
- [14] Yu X Y, Li M, Liu Z, et al. A novel gene, screened by cDNA-AFLP approach, contributes to lowering the acidity of fruit in apple[J]. Plant Physiology and Biochemistry, 2007, 45: 139-145.
- [15] 张正银, 刘波洋, 陈放, 等. 麻疯树 AFLP 体系的建立与优化[J]. 应用与环境生物学报, 2009, 15(2): 280-283.
- [16] 臧德奎, 陈红, 郑林, 等. 木瓜属优良品种亲缘关系的 AFLP 分析[J]. 林业科学, 2009, 45(8): 39-43.
- [17] 赵志常, 胡桂兵, 刘运春, 等. 番荔枝 DNA 的提取和 AFLP 体系的建立[J]. 北方园艺, 2009(10): 44-47.
- [18] 明军, 张启翔, 晏小兰, 等. 梅花基因组 AFLP 银染反应体系的建立和优化[J]. 北京林业大学学报, 2003, 25(3): 17-21.
- [19] 田晓俊, 温强, 汪信东, 等. 阔楠、红楠 AFLP 反应体系建立[J]. 林业科技开发, 2009, 23(3): 38-42.
- [20] 欧立军, 黄园, 王俞人, 等. 天门冬 AFLP 反应体系的建立及优化[J]. 中国农学通报, 2011, 27(8): 87-90.
- [21] Yan Z, Denneboom C, Hattendorf A. Construction of an integrated map of rose with AFLP, SSR, PK, RGA, RFLP, SCAR and morphological markers[J]. Theor Appl Genet, 2005, 110: 766-777.
- [22] 刘欢. 燕麦 AFLP 标记的遗传多样性分析[D]. 兰州: 甘肃农业大学, 2007.
- [23] 李元军, 唐美玲, 于青, 等. 富士苹果 AFLP 体系的优化及其在鉴定早熟芽变中的应用[J]. 园艺学报, 2009, 36(3): 327-332.

Establishment of the Optimized AFLP Analysis System for Pomegranate

ZHAO Li-hua

(College of Agriculture Sciences, Xichang College, Xichang, Sichuan 615013)

Abstract: Taking genome DNA of pomegranate ‘Fenhongmudan’ as material, AFLP reaction system was optimized from time of *Mse I/EcoRI* restriction enzyme digest system, template DNA dilution multiple and program of pre-amplification, template DNA dilution multiple of selective amplification. The results indicated that 300 ng genomic DNA was digested completely with 6 hours, the products of ligation was not diluted; starting melting temperature was 94°C for pre-amplification; the products of pre-amplification was diluted for 20 times.

Key words: pomegranates; AFLP; system; optimized